

北大工学部 能町純雄
北見工業大学 大島俊之
北海道開発局 吉田祐一

1. 考え方

プリズム要素による解析にはこれまで O.C. Zienkiewicz ら¹⁾が最もよく種々発表されており、著者らは断面方向に定和分度換を応用する目的で、別途 カーネギー法による種分を用ひて、プリズム要素の断面内一次変化を仮定、変位関数を用いて、要素の横の力と変位の関係式を求めた。

次にこれらの一関係式を利用して、積みづり法により、微分差分方程式を求め、軸方向に Fourier 変換、 \Rightarrow 断面方向に和分度換を用いて解析を行なつた。また、基本式より式式で分割長を無限小にする、基本微分方程式と一致するこことを示せられた。

2. プリズム要素関係式の説明

$$T_x = (2u + \lambda) \frac{\partial u}{\partial x} + \lambda \frac{\partial v}{\partial y} + \lambda \frac{\partial w}{\partial z} \quad (1) \quad T_{xy} = u \left(\frac{\partial u}{\partial y} + \frac{\partial v}{\partial x} \right) \quad (2)$$

$$T_{xz} = u \left(\frac{\partial w}{\partial x} + \frac{\partial u}{\partial z} \right) \quad (3) \quad \text{ここで } u, \lambda \text{ は } \rightarrow x \text{ の定数}$$

$$\frac{\partial T_x}{\partial x} + \frac{\partial T_{xy}}{\partial y} + \frac{\partial T_{xz}}{\partial z} = 0 \quad (4) \quad \dot{u}_x = \frac{\partial T_x}{\partial x}, \quad \frac{\partial u}{\partial x} = \dot{u} \text{ とする。}$$

$$\int_0^{\lambda_2} \int_0^{\lambda_3} \int_0^{\lambda_2} T_{xy} dy dz dx dy + \int_0^{\lambda_2} \int_0^{\lambda_3} \int_0^{\lambda_2} T_{xz} dz dx dy = \lambda_2 \int_0^{\lambda_3} \int_0^{\lambda_2} T_{xy} |_{y=0} dz dx + \lambda_3 \int_0^{\lambda_2} \int_0^{\lambda_2} T_{xz} |_{z=0} dy dx \quad (5)$$

$$\begin{Bmatrix} u \\ v \\ w \end{Bmatrix} = \begin{Bmatrix} U_A, U_B, U_C, U_D \\ V_A, V_B, V_C, V_D \\ W_A, W_B, W_C, W_D \end{Bmatrix} \begin{Bmatrix} T(u_A) T(u_B) \\ T(u_B) T(u_C) \\ T(u_C) T(u_D) \\ T(u_D) T(u_A) \end{Bmatrix} \quad (6)$$

$$\text{ここで } T(u) = 1-x, \quad T(u)(1-x) = x. \quad \Rightarrow \quad \int_0^{\lambda_2} \int_0^{\lambda_3} T_{xy} |_{y=0} dz dx = \int_0^{\lambda_3} (\lambda_3 - z) T_{xy} |_{y=0} dz \quad (7)$$

$$\int_0^{\lambda_2} \int_0^{\lambda_3} T_{xz} |_{z=0} dy dx = \int_0^{\lambda_2} (\lambda_2 - y) T_{xz} |_{z=0} dy \quad (8) \quad (7), (8) \text{ 或 } \text{又石切の} \rightarrow \text{を} \rightarrow \text{と} \text{AB面}, \text{AB面に作用} \rightarrow \text{IIII}$$

剪断応力は \rightarrow A 面に作用する $x=0$ を意味する。また $\lambda_3 T_{AB}^A, \lambda_2 T_{AB}^A$ である。

$T_A = T_{AB}^A + T_{AD}^A$ とする。 (6) 式と (5) 式の左边に代入して各項を計算し、整理すると。

$$T_A = \frac{(2u + \lambda) \lambda_2 \lambda_3}{36} [4 \ddot{U}_A + 2 \ddot{U}_B + 2 \ddot{U}_D + \ddot{U}_C] + \frac{\mu \lambda_3}{6 \lambda_2} [z(U_B - U_A) + U_C - U_B] + \frac{\mu \lambda_2}{6 \lambda_3} [z(U_D - U_A) + U_C - U_B]$$

$$+ \frac{\mu \lambda_3}{12} [z(\dot{U}_B - \dot{U}_A) + \dot{U}_C - \dot{U}_D] + \frac{\mu \lambda_3}{12} [z(\dot{U}_A + \dot{U}_B) + \dot{U}_C + \dot{U}_D] + \frac{\mu \lambda_2}{12} [z(\dot{W}_D - \dot{W}_A) + \dot{W}_C - \dot{W}_B]$$

$$+ \frac{\mu \lambda_2}{12} [z(\dot{W}_A + \dot{W}_D) + \dot{W}_C + \dot{W}_B] \quad (9) \quad \text{ここで } T_A \text{ は移動 A } \rightarrow \text{ と } x \rightarrow \text{ と } \rightarrow \text{を表す。}$$

$$Y_A = \frac{\mu \lambda_3}{12} [z(\dot{U}_B - \dot{U}_A) + \dot{U}_C - \dot{U}_D] + \frac{\mu \lambda_2 \lambda_3}{36} [4 \ddot{V}_A + 2 \ddot{V}_B + 2 \ddot{V}_D + \ddot{V}_C] + \frac{\lambda \lambda_3}{12} [z(\dot{U}_A + \dot{U}_B) + \dot{U}_C + \dot{U}_D]$$

$$+ \frac{(2u + \lambda) \lambda_3}{6 \lambda_2} [z(V_B - V_A) + V_C - V_D] + \frac{\lambda}{4} [W_D - W_A + W_C - W_B] + \frac{\mu \lambda_2}{6 \lambda_3} [z(V_D - V_A) + V_C - V_B]$$

$$+ \frac{\mu}{4} [W_B - W_A + W_C - W_D] \quad (10), (9) \text{ 式と同様に } y, z \text{ 方向 } \rightarrow \text{ IIIZ } \text{ と } (10), (11) \text{ 式も得られる。}$$

$$Z_A = \frac{\mu \lambda_2 \lambda_3}{36} [4 \ddot{W}_A + 2 \ddot{W}_B + 2 \ddot{W}_D + \ddot{W}_C] + \frac{\mu \lambda_2}{12} [z(\dot{U}_B - \dot{U}_A) + \dot{U}_C - \dot{U}_B] + \frac{\mu \lambda_2}{12} [z(\dot{U}_A + \dot{U}_D) + \dot{U}_C + \dot{U}_B]$$

$$+ \frac{(2u + \lambda) \lambda_2}{6 \lambda_3} [z(W_D - W_A) + W_C - W_B] + \frac{\lambda}{4} [V_B - V_A + V_C - V_D] + \frac{\mu \lambda_2}{6 \lambda_2} [z(W_B - W_A) + W_C - W_D]$$

$$+ \frac{\mu}{4} [V_B - V_A + V_C - V_D] \quad (11)$$

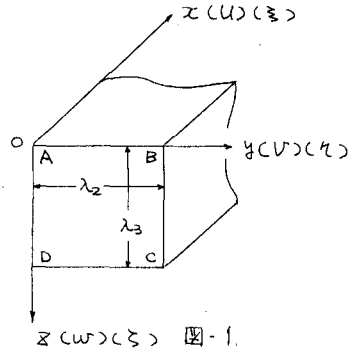


図-1.

3. 基本微分差分方程式の説明

図-2 の記号に従って、基本式を書きおきる。ただし $\lambda_1, \lambda_2, \lambda_3$ を用いる。

$$\begin{aligned} & \frac{(2\mu+\lambda)\lambda_2\lambda_3}{36} [\Delta_y^2 \Delta_z^2 \ddot{U}_{y+1,z-1} + 6 \Delta_y^2 \ddot{U}_{y+1,z} + 6 \Delta_z^2 \ddot{U}_{y,z-1} + 36 \ddot{U}_{yz}] \\ & + \frac{\mu\lambda_2}{6\lambda_2} [\Delta_y^2 \Delta_z^2 \ddot{U}_{y-1,z-1} + 6 \Delta_y^2 \ddot{U}_{y-1,z}] + \frac{\mu\lambda_2}{6\lambda_2} [\Delta_y^2 \Delta_z^2 \ddot{U}_{y+1,z-1} + 6 \Delta_z^2 \ddot{U}_{y,z-1}] \\ & + \frac{(\mu+\lambda)\lambda_2}{12} [\Delta_y \Delta_z^2 \ddot{U}_{y,z-1} + 6 \Delta_y \ddot{U}_{yz}] + \frac{(\mu+\lambda)\lambda_2}{12} [\Delta_y^2 \Delta_z \ddot{U}_{y+1,z} + 6 \Delta_z^2 \ddot{U}_{yz}] = 0 \quad (12) \\ & \frac{\mu\lambda_2\lambda_3}{36} [\Delta_y^2 \Delta_z^2 \ddot{U}_{y+1,z-1} + 6 \Delta_y^2 \ddot{U}_{y+1,z} + 6 \Delta_z^2 \ddot{U}_{y,z-1} + 36 \ddot{U}_{yz}] + \frac{\mu\lambda_3}{12} \Delta_y (\Delta_z^2 \ddot{U}_{y,z-1} + 6 \ddot{U}_{yz}) \\ & + \frac{(\mu+\lambda)}{4} \Delta_y \Delta_z^2 \ddot{U}_{yz} + \frac{\lambda\lambda_3}{12} \Delta_y (\Delta_z^2 \ddot{U}_{y,z-1} + 6 \ddot{U}_{yz}) + \frac{(2\mu+\lambda)\lambda_3}{6\lambda_2} [\Delta_y^2 \Delta_z^2 \ddot{U}_{y+1,z-1} + 6 \Delta_y^2 \ddot{U}_{y+1,z}] \\ & + \frac{\mu\lambda_2}{6\lambda_3} [\Delta_y^2 \Delta_z^2 \ddot{U}_{y-1,z-1} + 6 \Delta_z^2 \ddot{U}_{y,z-1}] = 0 \quad (13) \quad z \text{ 方向にも (13) 式と並びな式が得られる。} \end{aligned}$$

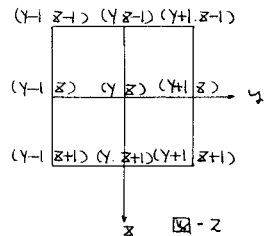


図-2

また (12) 式と λ_2, λ_3 を割り、微分方程式に近づける。 $(2\mu+\lambda)\ddot{U} + \mu(\frac{\partial^2 U}{\partial y^2} + \frac{\partial^2 U}{\partial z^2}) + (\mu+\lambda)(\frac{\partial^2 U}{\partial y \partial z} + \frac{\partial^2 U}{\partial z \partial y}) = 0$ となる。(4) 式と一致する。(13) 式は (12) と同様。 $\Delta^2 f(x-1) = f(x+1) - 2f(x) + f(x-1)$, $\Delta f(x) = f(x+1) - f(x)$

次に $U = \frac{8}{lJK} \sum_{i=1}^{l+1} \sum_{j=1}^{K+1} S_i R_j S_k [U_{yz}(x)]$, $V = \frac{8}{lJK} \sum_{i=1}^{l+1} \sum_{j=1}^{K+1} S_i R_j S_k [V_{yz}(x)]$, $W = \frac{8}{lJK} \sum_{i=1}^{l+1} \sum_{j=1}^{K+1} S_i R_j S_k [W]$ とする。x 方向に $f(x) = f(x-1)$, y, z 方向に和分変換を行なう。²⁾

$$左端 S_j [\Delta^2 f(x-1)] = -\sin \frac{j\pi}{J} \{(-1)^j f(x) - f(x-1)\} - D_j S_j [f(x)] \quad 右端 D_j = 2(1 - \cos \frac{j\pi}{J})$$

4. 境界条件

数値計算例として、図-3 のような状態を考え、構造、荷形

および荷重などを、境界条件として、 $T_{00} = 0$ (14), $Y_{00} = 0$ (15)

$$Z_{00} = 0 \quad (16), \quad T_{0z} + T_{0z}^D = 0 \quad (17), \quad Y_{0z}^A + Y_{0z}^D = 0 \quad (18)$$

$$Z_{0z}^A + Z_{0z}^D = 0 \quad (19), \quad T_{0k} = 0 \quad (20), \quad Y_{0k} = 0 \quad (21), \quad Z_{0k} = 0 \quad (22)$$

$$T_{yz}^B + T_{yz}^A = 0 \quad (23), \quad Y_{yz}^B + Y_{yz}^A = 0 \quad (24), \quad Z_{yz}^B + Z_{yz}^A = 0 \quad (25)$$

$$T_{yk}^C + T_{yk}^D = 0 \quad (26), \quad Y_{yk}^C + Y_{yk}^D = 0 \quad (27), \quad Z_{yk}^C + Z_{yk}^D = 0 \quad (28)$$

a 15 条件式が得られる。

また断面一部に鉄筋など、弹性係数を置く

場合ある様な計算の場合には、x 方向に

$$\sum T + E_A s \ddot{U} = 0 \quad (29)$$

なる条件を立てることによって、剛体結合を解釈することができる。ただし $A_s =$ 鉄筋の断面積。

5. おわりに

以上、Galerkin の手法から基礎と、プレスル要素の関係まで説明し、簡単な应用例について述べた。

二種の手法は、多層アート構造、現実管と地盤の相互作用、プレストレスヒームやアーチ・アーチ等の解析、厚板解析などとの解説に応用できる。今後、台形、四边形、三角形要素の関係式も行なう予定である。また二つを論ずることで互いに補助する。又 Zienkiewicz の手法など、他の手法との比較も行ないたいと考えている。

参考文献

- 1) Zienkiewicz, Too : The Finite Prism in Analysis of Thick Simply Supported Bridge Boxes, Proc. of I.C.E. September (1972) Vol 53, P.147.
- 2) Nomachi, Matsuoka : Applications of Finite Fourier Integration Transforms for Structural Mechanics, Proc. of the 20th Jap. Nat. Congr. of Appl. Mech. (1970) III-3

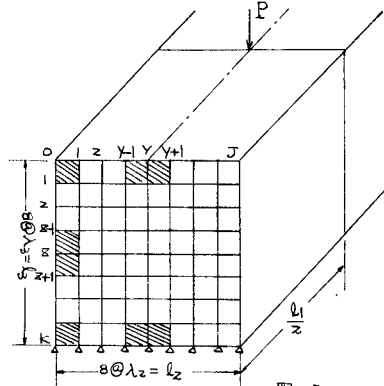


図-3.